

不等质量($1/2-\bar{1}/2$)或($1/2-1/2$) 电磁束缚系统的近似 B. S. 波函数

宋孝同 庆承瑞 何祚庥

(杭州大学) (中国科学院理论物理研究所)

摘要

本文求解了不等质量($1/2-\bar{1}/2$)电磁束缚系统的 Bethe-Salpeter 方程。给出了这类系统的近似 B. S. 波函数。利用复合粒子量子场论的微扰展开，在精确到 $O(\alpha)$ 的量级下，计算了 $\Xi^0 \rightarrow (\Sigma^+ \mu^-) + \bar{\nu}_\mu$ 的衰变率和分支比，结果是

$$w_{\Xi^0 \rightarrow (\Sigma^+ \mu^-) + \bar{\nu}_\mu} \simeq 1.12 \text{ (1/秒)}$$

$R = [w_{\Xi^0 \rightarrow (\Sigma^+ \mu^-) + \bar{\nu}_\mu}] / [w_{\Xi^0 \rightarrow \Sigma^+ + \mu^- + \bar{\nu}_\mu}] \gtrsim 4.7 \times 10^{-7}$ 。类似地，还讨论了 $\Lambda \rightarrow (p \mu^-) + \bar{\nu}_\mu$ 过程。

一、引言

在工作 [1] 中曾指出，由带电轻子和奇异重子构成的双例外原子 ($\Sigma^+ \mu^-$) 可能在如下过程中产生



研究这类原子将能为奇异重子的电磁相互作用提供一些知识，由于实验上已观察到 ($\pi^\pm \mu^\mp$) 原子，因此在 Ξ^0 束流足够强时，一定可以观察到衰变 (1)，但是在实验上预测到这类原子之前，需要从理论上估算它们产生的分支比。为此必须知道 ($\Sigma \mu$) 束缚系统的 B. S. 波函数。在以前的一些工作中，已分别求得 (自旋-自旋) 为 $(0-0)^{[2]}, (0, -1/2)^{[3]}$ 和正反费米子 (等质量) $(1/2-\bar{1}/2)^{[4]}$ 电磁束缚态的近似 B. S. 波函数。而我们现在要处理的 ($\Sigma \mu$) 原子是由两个不等质量粒子组成的 $(1/2-1/2)$ 电磁束缚系统。因此在第三节及附录中，我们求解了这类系统的 Bethe-Salpeter 方程，求得了 ($\Sigma \mu$) 原子的近似 B. S. 波函数。利用这个波函数计算了在 Ξ^0 衰变中产生 ($\Sigma^+ \mu^-$) 原子的几率和分支比 (我们不考虑 $\Xi^0 \rightarrow \Sigma^- + \mu^+ + \nu_\mu$ 过程，因为它违反 $\Delta S = \Delta Q$)。并计算了在 Λ 衰变中产生 ($p \mu^-$) 原子的几率。

二、 $\Xi^0 \rightarrow (\Sigma^+ \mu^-) + \bar{\nu}_\mu$ 的跃迁矩阵元

对于带电流，弱相互作用拉氏函数密度为

$$\mathcal{L}_{\text{弱}}(x) = \frac{g}{2\sqrt{2}} [j_\mu^{(L)}(x) W_\mu(x) + j_\mu^{(H)}(x) W_\mu(x) + \text{H. C.}] \quad (2)$$

其中轻子弱流 $j_\mu^{(L)}$ 和强子弱流 $j_\mu^{(H)}$ 分别为

$$\begin{aligned} j_\mu^{(L)}(x) &= i\bar{u}_l(x)\gamma_\mu(1+\gamma_5)v_{nl}(x) \\ j_\mu^{(H)}(x) &= \cos\theta_c[V_\mu^{(1+i2)}(x) - A_\mu^{(1+i2)}(x)] \\ &\quad + \sin\theta_c[V_\mu^{(4+i5)}(x) - A_\mu^{(4+i5)}(x)] \end{aligned}$$

对于我们讨论的 $\Xi^0 \rightarrow \Sigma^+$ 过程， $j_\mu^{(H)}$ 中只有 $\sin\theta_c$ 项（奇异数改变项）起作用。（ θ_c 是 Cabibbo 角）

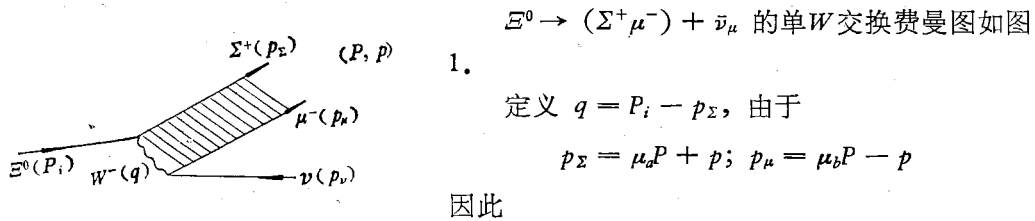


图 1 $\Xi^0 \rightarrow (\Sigma^+ \mu^-) + \bar{\nu}_\mu$

因此

$$q = p_i - \mu_a P - p$$

其中 $\mu_a = \frac{m_\Sigma}{M}$, $\mu_b = \frac{m_\mu}{M}$, $M = m_\Sigma + m_\mu$. P_i , P 和 p , 分别是 Ξ^0 , $(\Sigma\mu)$ 原子和 $\bar{\nu}_\mu$ 的四动量, p 是 $(\Sigma\mu)$ 内部相对四动量。按照复合粒子量子场论的微扰展开^[3], 不难写出与上述费曼图相应的跃迁矩阵元

$$\begin{aligned} \langle \bar{\nu}_\mu, (\Sigma^+ \mu^-) | S - I | \Xi^0 \rangle &= \frac{g^2}{8} \sin\theta_c \delta^4(P_i - P - p_\nu) \sqrt{\frac{m_\Sigma m_\nu}{2E_B E_\Xi E_\nu}} \\ &\times \int d^4 p \bar{\chi}_p(p) \Gamma_\mu^{(H)} u(P_i) \Delta_{\mu\rho} \Gamma_\rho^{(L)} v(p_\nu) \end{aligned} \quad (3)$$

其中 $\chi_p(p)$ 是 $(\Sigma^+ \mu^-)$ 的 B. S. 波函数, $\bar{\chi}_p(p)$ 是共轭 B. S. 波函数, 并且

$$\Gamma_\rho^{(L)} = i\gamma_\rho(1+\gamma_5); \quad \bar{\chi}_p(p) = -\gamma_4 \chi_p^\dagger(p) \gamma_4$$

$$\Delta_{\mu\rho} = -i \left(\delta_{\mu\rho} + \frac{q_\mu q_\rho}{m_\omega^2} \right) / q^2 + m_\omega^2$$

$$\begin{aligned} \Gamma_\mu^{(H)} &= i \left[\gamma_\mu F_1(t) + \frac{\sigma_{\mu 1} q_1}{M} F_2(t) + i \frac{q_\mu}{M} F_3(t) \right. \\ &\quad \left. + \gamma_\mu \gamma_5 G_1(t) + \frac{\sigma_{\mu 1} \gamma_5 q_1}{M} G_2(t) + i \frac{q_\mu}{M} \gamma_5 G_3(t) \right] \end{aligned}$$

最后两式中的 F_i 和 G_i ($i = 1, 2, 3$) 为形状因子, 它们是 $t = -q^2$ 的标量函数。如果 T 不变性成立, 则所有的 F_i 和 G_i 都是实的。若进一步假定强子流具有确定的 G 变换性质并且第二类流不存在, 则 $G_2 = 0$, $F_3 = 0$ 。根据重子的半轻子衰变的实验数据分析, 弱磁 (F_2) 项与感生赝标 (G_3) 项贡献很小, 可以略去。因此只剩下 F_1 和 G_1 项。

由于在衰变过程中, 四动量传递很小 ($-q^2 \lesssim 0.01(\text{GeV}/c)^2$) 因此 $\Delta_{\mu\rho} = \frac{-i\delta_{\mu\rho}}{m_\omega^2}$, 并且可以不考虑 $F_1(q^2)$ 和 $G_1(q^2)$ 对 q^2 的依赖关系, 而近似地取 $F_1(q^2) \simeq F_1(0) = 1$, $G_1(q^2) \simeq G_1(0) = g_A$, 对于 $\Xi^0 \rightarrow \Sigma^+$ 跃迁, $g_A \simeq 1.26^{[6]}$, 这样, (3) 式就可化为(式中已明显写出, $\bar{\chi}_P$ 的一个指标通过 $\gamma_\mu(1 + g_A \gamma_5)$ 与 $u(P_i)$ 联系, 另一指标通过 $\gamma_\mu(1 + \gamma_5)$ 与 $v(p_\nu)$ 相联系)

$$\begin{aligned} \langle \bar{\nu}_\mu, (\Sigma^+ \mu^-) | S - I | \Xi^0 \rangle &= i \frac{G_F \sin \theta_c}{\sqrt{2}} \delta^4(P_i - P - p_\nu) \sqrt{\frac{m_\Xi m_\nu}{2 E_B E_\Xi E_\nu}} \\ &\cdot [\bar{\chi}_P(0)]_{\alpha\beta} [\gamma_\mu(1 + g_A \gamma_5)]_{\alpha\alpha} u_\alpha(P_i) [\gamma_\mu(1 + \gamma_5)]_{\beta\beta'} v_{\beta'}(p_\nu) \end{aligned} \quad (4)$$

在得到上式时, 已用了 $\frac{g^2}{4 \sqrt{2} m_\omega^2} = G_F$, 并且

$$\chi_P(0) = \frac{1}{(2\pi)^4} \int d^4 p \chi_P(p) \quad (5)$$

是在 $x = 0$ 处的 B. S. 波函数. 因此要计算 $\Xi^0 \rightarrow (\Sigma^+ \mu^-) + \bar{\nu}_\mu$ 的衰变几率, 必须知道 $\chi_P(0)$.

三、($a\bar{b}$) 原子的近似 B. S. 波函数

对于一个由粒子 a (质量 m_1 , 自旋 $1/2$) 和反粒子 \bar{b} (质量 m_2 , 自旋 $1/2$) 构成的电磁束缚态, 定义其 B. S. 波函数为

$$\begin{aligned} \chi_P(x_1, x_2) &= \langle 0 | T(\phi_a(x_1) \bar{\phi}_b(x_2)) | B(a, \bar{b}) \rangle \\ &= \frac{1}{\sqrt{2E_B}} e^{ipX} \chi_P(x) \end{aligned} \quad (6)$$

其中 X 和 x 分别为质心坐标和相对坐标, E_B 为 $B(a, \bar{b})$ 的能量. 动量空间波函数为

$$\chi_P(p) = \int d^4 x e^{-ipx} \chi_P(x) \quad (7)$$

在单光子交换的梯形近似下, (a, \bar{b}) 电磁束缚系统的 Bethe-Salpeter 方程为

$$(i\hat{p}_1 + m_1) \chi_P(p) (i\hat{p}_2 + m_2) = \frac{ie^2}{(2\pi)^4} \int \frac{d^4 p'}{(p - p')^2} \gamma_\mu \chi_P(p') \gamma_\mu \quad (8)$$

按照对称性的分析, 如果粒子 a 和 \bar{b} 的内禀宇称满足 $\eta_P^a \cdot \eta_P^{\bar{b}} = -1$, 并且进一步假定

$$\chi_{\bar{B}}(x_1, x_2) = \eta_B \chi_B(x_1, x_2) \quad (9)$$

(其中 η_B 是模为 1 的相因子), 则对于 $\eta_B = +1$ 的 1S_0 态, $\chi_P(p)$ 的一般形式为

$$\chi_P(p) = f_1 \gamma_5 + f_2 \frac{i\hat{p}}{M} \gamma_5 + f_3 \frac{i\hat{p}}{2M\mu} \frac{(pP)}{\gamma_5} \gamma_5 + f_4 \frac{i}{2M\mu} p_\nu p_\rho \sigma_{\nu\rho} \gamma_5 \quad (10)$$

其中 f_1, f_2, f_3, f_4 是 $(p \cdot P)$ 的标量函数.

同样的分析, 对于 $\eta_P^a \eta_P^{\bar{b}} = -1$, $\eta_B = -1$ 的 3S_1 态, 则有

$$\begin{aligned} \chi_P(p) &= g_1 \hat{f}^\lambda + g_2 \frac{i\hat{p}}{M} \hat{f}^\lambda + g_3 \frac{i(p\hat{f}^\lambda)}{2\mu} + g_4 \frac{(p\hat{f}^\lambda)}{4\mu^2} \hat{p} + g_5 \frac{(p\hat{f}^\lambda)}{4M\mu^2} p_\nu p_\rho \sigma_{\nu\rho} \\ &+ g_6 \frac{1}{2M\mu} \epsilon_{\mu\nu\rho\sigma} f_\mu^\lambda p_\nu p_\rho \gamma_\sigma \gamma_5 + g_7 \frac{(pP)}{4M\mu^2} f_\mu^\lambda p_\nu \sigma_{\mu\nu} + g_8 \frac{(p\hat{f}^\lambda)}{4M^2\mu^2} (pP) \hat{P} \end{aligned} \quad (11)$$

其中 $g_1 \cdots g_8$ 是 p 和 P 的标量函数, $\hat{A} = \gamma_\mu A_\mu$. f^l 是极化四矢量. $M = m_1 + m_2$, $\mu = \frac{m_1 m_2}{M}$.

下面只讨论 $\eta_p^a \eta_p^b = -1$, $\eta_B = +1$ 的 1S_0 态. 在精确到 $O(\alpha)$ 量级的近似下, 可以求得(见附录 A.)

$$\chi_p(p) = N f(p, P) \left[1 - \frac{i \hat{P}}{M} + \frac{1}{4 M \mu} (\hat{P} \hat{p} - \hat{p} \hat{P}) \right] \gamma_5 \quad (12)$$

其中 $f(p, P)$ 满足

$$f(p, P) = -4 \mu_a \mu_b M^2 \cdot \frac{i e^2}{(2\pi)^4} \cdot \frac{1}{(p_1^2 + m_1^2)(p_2^2 + m_2^2)} \int \frac{d^4 p'}{(p-p')^2} f(p', P) \quad (13)$$

方程(13)的解已在 [3] 中给出

$$f(p, P) = [p^2 + m_1 m_2 + \mu_a \mu_b P^2]^{-1} [(\mu_a P + p)^2 + m_1^2]^{-1} [(\mu_b P - p)^2 + m_2^2]^{-1} \quad (14)$$

(12)式中的归一化常数 N 由下式确定

$$1 = \frac{-i N^2}{(2\pi)^4} \int d^4 p [f(p, P)]^2 \left\{ 4 \mu_a \mu_b \left[1 + \frac{P^2}{M^2} + \frac{p^2 P^2 - (pP)^2}{4 M^2 \mu^2} \right] \right. \\ \left. - 4(\mu_a - \mu_b) \frac{(pP)}{M^2} + \frac{2}{M \mu} [p^2 P^2 - (pP)^2] \frac{1}{P^2} \right\} \quad (15)$$

把(14)式代入(15), 不难求得

$$N = 8 \sqrt{\pi} M^{3/2} (\alpha \mu)^{5/2} \xi; \quad \xi = \left\{ 1 - \frac{3}{8} (1 - 4 \mu_a \mu_b) \right\}^{-1/2} \quad (16)$$

当 $\mu_a = \mu_b = 1/2$ 时, 上式回到等质量(a, \bar{b})的结果.

如果束缚态由(a, b)两个粒子构成, (6)式改为

$$\begin{aligned} \chi_p^{(ab)}(x_1, x_2) &= \langle 0 | T(\phi^a(x_1) \phi^b(x_2)) | B(a, b) \rangle \\ &= \frac{1}{\sqrt{2 E_B}} e^{i P X} \chi_p^{(ab)}(x) \end{aligned} \quad (17)$$

由空间反演变换性质, 不难给出如下限制条件

$$\chi_p^{(ab)}(p) = \eta_p^B \gamma_4 \chi_{p'}^{(ab)}(p') \tilde{\gamma}_4 \quad (18)$$

其中 $p' = (-p, i p_0)$; $P' = (-P, i P_0)$. 上式可改写为

$$[\chi_p^{(ab)}(p) C^{-1}] = -\eta_p^B \gamma_4 [\chi_{p'}^{(ab)}(p') C^{-1}] \gamma_4 \quad (19)$$

其中 C 是电荷共轭矩阵. 因此对于 a, b 相对宇称为正的 1S_0 态, (19)式与 a, \bar{b} 相对宇称为负的 1S_0 态的限制条件: $\chi_p^{(ab)}(p) = -\gamma_4 [\chi_{p'}^{(ab)}(p')] \gamma_4$, 形式上完全相同. 故可以利用对($a \bar{b}$)适用的展开式(10), 得到

$$\chi_p^{(ab)}(p) = \chi_{p'}^{(ab)}(p) C \quad (20)$$

由(10)式及 C 矩阵的性质, 不难得到 $\chi_p^{(ab)}(p) = C^{-1} \overline{\chi_{p'}^{(ab)}(p)}$, 由此可见, (ab)系统的 B. S. 波函数只是比($a \bar{b}$)系统多乘上一个 C 矩阵, 但归一化积分及衰变几率的计算与没有 C 矩阵时完全相同.

四、 $\Xi^0 \rightarrow (\Sigma^+ \mu^-) + \bar{\nu}_\mu$ 的衰变几率和分支比

利用(16)、(12)、(5)和(20)式, 可以得到

$$\chi_p(0) = \frac{i}{2\sqrt{\pi}} M^{1/2} (\alpha\mu)^{3/2} \xi (1 - D_1) \left(1 - \frac{i\hat{P}}{M}\right) \gamma_s C \quad (21)$$

其中 $D_1 = \frac{\alpha}{\pi} \left[1 - \ln \alpha - \ln \mu_a - \mu_b \ln \left(\frac{\mu_b}{\mu_a} \right) \right]$ 是一个小量(对于 $\Xi^0 \rightarrow (\Sigma^+ \mu^-) + \bar{\nu}_\mu$ 衰变,

$D_1 \approx 0.014$). 将上式的 $\chi_p(0)$ 代入 (4) (注意 $\bar{\chi}_p(0) = \tilde{\gamma}_4 \chi_p^\dagger(0) \gamma_4$), 然后按标准方法计算 $\Xi^0 \rightarrow (\Sigma^+ \mu^-) + \bar{\nu}_\mu$ 的衰变几率, 结果是

$$w = \left(\frac{G_F \sin \theta_c}{\sqrt{2}} \right)^2 \cdot \frac{1}{2\pi^2} \cdot \xi^2 (1 - D_1)^2 (\alpha\mu)^3 M m_\Xi \left[1 - \left(\frac{M}{m_\Xi} \right)^2 \right]^2 \times \left[1 + g_A - (1 - g_A) \frac{m_\Xi}{2M} \right]^2 \quad (22)$$

按 [6] 中的数据, $\sin \theta_c = 0.229$, $g_A = 1.26$, 得

$$w_{\Xi^0 \rightarrow (\Sigma^+ \mu^-) + \bar{\nu}_\mu} = 1.12 \text{ (1/秒)} \quad (23)$$

由此得分支比

$$R = \frac{w_{\Xi^0 \rightarrow (\Sigma^+ \mu^-) + \bar{\nu}_\mu}}{w_{\Xi^0 \rightarrow \Sigma^+ + \mu^- + \bar{\nu}_\mu}} \gtrsim 4.7 \times 10^{-7} \quad (24)$$

这个结果与 K_L^0 衰变中产生 $(\pi\mu)$ 原子的分支比^[3] $R \approx 5 \times 10^{-7}$ 非常接近.

利用同样的方法, 还可以计算在 Λ 衰变中产生 $(p\mu^-)$ 原子的几率, 结果是

$$w_{\Lambda \rightarrow (p\mu^-) + \bar{\nu}_\mu} = 7.5 \text{ (1/秒)} \quad (25)$$

附录 A 标量函数 f_1, f_2, f_3, f_4 所满足的联立方程

为了求得 (12) 式, 我们先把 (10) 式改写为:

$$\chi_p(p) = \sum_{i=1}^4 f_i \hat{o}_i \quad (A.1)$$

其中 \hat{o}_i 分别代表 γ_s , $\frac{i\hat{P}}{M} \gamma_s$, $\frac{(pP)}{2\mu} \gamma_s$ 和 $\frac{i}{2M\mu} p_\nu p_\rho \sigma_{\nu\rho} \gamma_s$, 把 (A.1) 式代入 (8) 式, 则得

$$\chi_p(p) = I \left\{ (-i\hat{p}_1 + m_1) \left(\sum_{i=1}^4 f_i (p', P) \hat{o}'_i \right) (-i\hat{p}_2 + m_2) \right\} \quad (A.2)$$

式中 \hat{o}'_i 相应于 \hat{o}_i 中的 p 换成 p' , 而 I 是如下的积分算符

$$I = \frac{ie^2}{(2\pi)^4} \frac{1}{(p_1^2 + m_1^2)(p_2^2 + m_2^2)} \int \frac{d^4 p'}{(p - p')^2} \quad (A.3)$$

由 (A.2) 式, 可以求得四个标量函数 $f_1 \dots f_4$ 所满足的联立方程.

$$f_1 = I \cdot (4\mu_a\mu_b) \left\{ - \left(M^2 - p^2 + \frac{p^2}{\mu_a\mu_b} \right) f'_1 + P^2 f'_2 + \frac{(p'P)^2}{4\mu_a\mu_b} f'_3 + \frac{\mu_a - \mu_b}{4\mu_a\mu_b} \left[4(pP)f'_1 + 2(pP)f'_2 + \frac{(p'P)(p'p)}{2\mu^2} f'_3 \right] \right\} \quad (A.4)$$

$$\begin{aligned} \frac{2P^2}{M^2} f_1 + \frac{(pP)^2}{2M^2\mu^2} f_3 &= I \cdot (4\mu_a\mu_b) \left\{ 4P^2 f'_1 + P^2 \left[1 - \frac{P^2}{M^2} - \frac{p^2}{\mu_a\mu_b M^2} + \frac{2(pP)^2}{\mu_a\mu_b M^2 P^2} \right] f'_2 \right. \\ &\quad \left. + \frac{(p'P)^2}{M^2\mu^2} \left[\frac{M^2}{4} - \frac{p^2}{4\mu_a\mu_b} - \frac{P^2}{4} + \frac{(pP)}{2\mu_a\mu_b} \cdot \frac{(p'p)}{(p'P)} \right] f'_3 \right\} \\ &\quad + \frac{\mu_a - \mu_b}{4\mu_a\mu_b} \left[-4(pP)f'_1 + 2 \frac{(pP)P^2}{M^2} f'_2 + \frac{(p'P)(p'p)P^2}{2M^2\mu^2} f'_3 \right] \end{aligned} \quad (A.5)$$

$$2f_2 + \frac{p^2}{2\mu^2} f_3 = I \cdot (4\mu_a\mu_b) \left\{ 4M^2 f'_1 - \frac{p^2}{\mu_a\mu_b} f'_2 + (M^2 - P^2) f'_3 - \frac{(p'P)^2}{2\mu^2} f'_3 \right\}$$

$$+\frac{(p'P)(p'p)}{4\mu^2(pP)} \left[M^2 + P^2 + \frac{p^2}{\mu_a \mu_b} \right] f'_3 \\ + \frac{\mu_a - \mu_b}{4\mu_a \mu_b} \cdot \frac{p^2}{(pP)} \left[-8M^2 f'_1 + 4P^2 f'_2 + \frac{(p'P)^2}{\mu^2} f'_3 \right] \quad (A.6)$$

$$f_4 = I \cdot (4\mu_a \mu_b) \left\{ -2M^2 f'_1 - 2M^2 f'_2 - \frac{(p'P)p^2(p'P) - (pP)(p'p)}{4\mu^2} f'_3 \right\} \quad (A.7)$$

其中 $f'_i = f_i(p', P)$. 由于电磁耦合常数 α 很小, 束缚态的结合能很小, 因此有

$$\frac{P^2}{M^2} \sim -1 + O(\alpha^2); \quad \frac{p^2}{\mu^2} \sim O(\alpha^2); \quad \frac{p^4}{\mu} \sim O(\alpha^2)$$

这样一来, 在精确到 $O(\alpha)$ 的近似下, 联立方程 (A.4)–(A.7) 简化为

$$f_1 \simeq I \{-4\mu_a \mu_b M^2 f'_1\}; \quad f_2 \simeq -f_1; \quad f_3 \simeq f_1; \quad f_4 \simeq f_1 \quad (A.8)$$

把 (A.8) 代入 (10) 式, 并略去 f_3 项 (因为此项的运动学系数 $\sim \frac{p^2}{\mu^2} \sim O(\alpha^2)$) 即得

$$\chi_p(p) = f_1(p, P) \left[1 - \frac{i\hat{p}}{M} + \frac{1}{4M\mu} (\hat{p}\hat{p} - \hat{p}\hat{p}) \right] r,$$

然后令 $f_1(p, P) = Nf(p, P)$ 即得 (12) 式. 顺便指出, 当 $m_1 = m_2 = m$ 时, 本文的 (A.4)–(A.7) 式就简化为 [4] 中的 (8a)–(8d).

附录 B 标量函数 $g_1 \cdots g_8$ 所满足的联立方程

利用与附录 A 相同的方法, 把 (11) 式改写为

$$\chi_p^k(p) = \sum_{i=1}^8 g_i \hat{O}_i^k \quad (B.1)$$

其中 \hat{O}_i^k 分别代表 $\hat{p}^k, \frac{i\hat{p}}{M} \hat{p}^k \dots$, 把 (B.1) 代入 (8) 代, 则得

$$\chi_p^k(p) = I \left\{ (-i\hat{p}_1 + m_1) \left(\sum_{i=1}^8 g_i(p', P) \hat{O}_i^{k+1} \right) (-i\hat{p}_2 + m_2) \right\} \quad (B.2)$$

其中 I 见 (A.3) 式. 由 (B.1)、(B.2) 可以求得

$$g_1 + \frac{(pf^k)^2}{4\mu^2} g_4 = I \left\{ -2M\mu \left[1 - \frac{P^2}{M^2} + \frac{P^2}{M\mu} + \frac{\mu_a - \mu_b}{M\mu} (pP) \right] g'_1 \right. \\ + 4(pf^k)^2 g'_1 + \frac{2M}{\mu} (pf^k)(p'f^k) g'_2 - \frac{M}{2\mu} \left[1 - \frac{P^2}{M^2} + \frac{p^2}{M\mu} \right. \\ \left. + \frac{\mu_a - \mu_b}{M\mu} (pP) \right] (p'f^k)^2 g'_4 + [2(p'p) + (\mu_a - \mu_b)(p'P)] \\ \times \frac{(pf^k)(p'f^k)}{2\mu^2} g'_4 - \frac{P^2}{M\mu} [(pf^k)(p'f^k) - (p'p)] g'_6 - \frac{(p'p)(pP)}{M\mu} g'_6 \\ \left. + \frac{(pf^k)(p'f^k)(p'P)}{M^2\mu^2} \left[(pP) + \frac{\mu_a - \mu_b}{2} p^2 \right] g'_8 \right\} \quad (B.3)$$

$$g_1 + \frac{p^2}{4\mu^2} g_4 + \frac{(pP)^2}{4M^2\mu^2} g_8 = I \left\{ -2M\mu \left(1 - \frac{P^2}{M^2} - \frac{p^2}{M\mu} \right) g'_1 + 2 \frac{M}{\mu} \frac{(p'f^k)}{(pf^k)} p^2 g'_3 \right. \\ - \frac{M}{2\mu} \frac{(p'f^k)}{(pf^k)} \left(1 - \frac{P^2}{M^2} - \frac{p^2}{M\mu} \right) (p'p) g'_4 - \frac{1}{M\mu} \cdot \frac{(p'f^k)}{(pf^k)} (pP)(p'P) g'_4 \\ + \frac{\mu_a - \mu_b}{2\mu^2} \frac{(p'f^k)}{(pf^k)} p^2 (p'P) g'_4 + \frac{\mu_a - \mu_b}{2M^2\mu^2} \frac{(p'f^k)}{(pf^k)} p^2 P^2 (p'P) g'_8 \\ \left. - \frac{1}{2M\mu} \left(1 + \frac{P^2}{M^2} - \frac{p^2}{M\mu} \right) \frac{(p'f^k)}{(pf^k)} (p'p)(pP) g'_8 \right\} \quad (B.4)$$

$$\begin{aligned}
g_4 + \frac{P^2}{M^2} g_8 &= I \left\{ 16\mu^2 g'_1 + 8(\mu_a - \mu_b) \frac{\mu^2 P^2}{(pP)} g'_1 + 8M\mu \frac{(p'f^1)}{(pf^1)} g'_3 + 4 \frac{(p'f^1)}{(pf^1)} (p'p) g'_4 \right. \\
&\quad - \frac{2(p'f^1)(p'P)}{(pf^1)(pP)} \left[M\mu \left(1 + \frac{P^2}{M^2} + \frac{p^2}{M\mu} \right) g'_4 - (\mu_a - \mu_b) P^2 g'_4 \right] \\
&\quad - \frac{2\mu}{M} \frac{(p'P)(p'f^1)}{(pP)(pf^1)} \left[1 + \frac{P^2}{M^2} + \frac{p^2}{M\mu} - (\mu_a - \mu_b) \frac{(pP)}{M\mu} \right] g'_3 \\
&\quad \left. + \frac{4}{M^2} \frac{(p'f^1)}{(pf^1)} (p'P)(pP) g'_8 \right\} \tag{B.5}
\end{aligned}$$

$$\begin{aligned}
g_2 + \frac{(pf^1)^2}{4\mu^2} g_5 + \frac{p^2 - (pf^1)^2}{4\mu^2} g_7 &= I \left\{ \left[4M\mu + 4\mu_a M^2 \frac{(pf^1)^2}{(pP)} - 2(\mu_a - \mu_b) \frac{M^2 P^2}{(pP)} \right] g'_1 \right. \\
&\quad + [M\mu C - (pP)] \frac{(p'f^1)(pf^1)}{(pP)} 2 \frac{M}{\mu} g'_3 + \frac{\mu_a}{\mu^2} (pf^1)(p'f^1)(p'P) g'_8 \\
&\quad \left. + \left[\frac{\mu}{M} (p'f^1) + \mu_a \frac{(p'p)(pf^1)}{(pP)} + \frac{\mu_a - \mu_b}{2} \cdot \frac{p^2(pf^1)}{(pP)} \right] (p'f^1) \left(\frac{M}{\mu} \right)^2 g'_4 \right\} \tag{B.6}
\end{aligned}$$

$$\begin{aligned}
g_2 + \frac{(pf^1)^2}{4\mu^2} g_5 + \frac{(pP)^2}{4\mu^2 P^2} g_7 &= I \left\{ \left[4M\mu - 2 \frac{\mu_a - \mu_b}{P^2} M^2 (pP) \right] g'_1 \right. \\
&\quad - 2 \left(\frac{M}{\mu} \right) \frac{(p'f^1)}{(pf^1)} \left[p^2 - \frac{(pP)^2}{P^2} \right] g'_3 + \frac{(p'f^1)}{(pf^1)} \left[(p'p) - \frac{(pP)(p'P)}{P^2} \right. \\
&\quad \left. + \frac{\mu_a - \mu_b}{2} \left(\frac{M}{\mu} \right) \frac{p^2(p'P) - (pP)(p'p)}{P^2} \right] g'_4 + \frac{\mu_a - \mu_b}{2} \cdot \frac{(p'f^1)}{(pf^1)} \\
&\quad \left. \cdot \frac{(p'P)}{\mu^2} \left[p^2 - \frac{(pP)^2}{P^2} \right] g'_8 \right\} \tag{B.7}
\end{aligned}$$

$$\begin{aligned}
g_2 + \frac{(pf^1)^2}{4\mu^2} g_5 + \frac{p^2 - (pf^1)^2}{4\mu^2} g_7 &= I \left\{ 4M\mu \left[1 - \frac{\mu_a - \mu_b}{2} \left(\frac{M}{\mu} \right) \frac{p^2 - (pf^1)^2}{(p'P)} g'_1 \right. \right. \\
&\quad - 2 \left(\frac{M}{\mu} \right) (p'f^1)(pf^1) g'_3 + \frac{\mu_a - \mu_b}{2} (p'f^1)(pf^1) \frac{(p'P)}{\mu^2} g'_8 \\
&\quad \left. \left. + \left(\frac{M}{\mu} \right)^2 (p'f^1) \left[\left(\frac{\mu}{M} \right) (p'f^1) + \frac{\mu_a - \mu_b}{2} (pf^1) \frac{p'p - p^2}{pP} \right] g'_4 \right] \right\} \tag{B.8}
\end{aligned}$$

$$g_3 = I \left\{ 4M\mu g'_1 + 4M\mu C \frac{(p'f^1)}{(pf^1)} g'_3 + \frac{M}{\mu} \frac{(p'f^1)}{(pf^1)} \left[(p'p) g'_4 + \frac{(pP)(p'P)}{M^2} g'_8 \right] \right\} \tag{B.9}$$

$$\begin{aligned}
g_6 &= I \left\{ -4M\mu g'_1 - \frac{M}{\mu} \frac{(p'f^1)[p^2 P^2 - (pP)^2]}{D} g'_4 - \frac{M}{\mu} \frac{(pf^1)(p'f^1)[(pP)(p'P) - (p'p)P^2]}{D} g'_8 \right. \\
&\quad \left. + 2M\mu C \frac{p^2[(p'p) - (p'f^1)(pf^1)] - (p'P)(pP)}{D} g'_6 \right\} \tag{B.10}
\end{aligned}$$

其中 $g_i \equiv g_i(p, P)$, $g'_i \equiv g_i(p', P)$, 并且

$$C \equiv 1 + \frac{P^2}{M^2} - \frac{p^2}{M\mu} - (\mu_a - \mu_b) \frac{(pP)}{M\mu} \tag{B.11}$$

$$D \equiv p^2 P^2 - (pP)^2 - P^2 (pf^1)^2 \tag{B.12}$$

当 $m_1 = m_2 = m$ 时, $\mu_a = \mu_b = \frac{1}{2}$, $M = 2m$, $\mu = \frac{m}{2}$, 由(B.3)–(B.10) 式就给出 [4] 中的(9a)–(9h) 式。

注意到 (11) 式右边 g_4 , g_5 , g_7 , g_8 项的运动学系数都与 $\frac{p^2}{\mu^2} \sim O(\alpha^2)$ 为同一量级, 在精确到 $O(\alpha)$ 的量级下, 这四项均可略去, 从而给出

$$g_1 \approx I(-4M\mu g'_1); \quad g_2 \approx -g_1; \quad g_3 \approx -g_1; \quad g_6 \approx g_1 \tag{B.13}$$

于是有

$$\chi_p^\lambda(p) = Nf(p, P) \left[\hat{p}^2 - \frac{i\hat{p}}{M} \hat{p}^2 - \frac{i(p^2)}{2\mu} + \frac{1}{2M\mu} \epsilon_{\mu\nu\rho\sigma} f_\mu^\lambda p_\nu p_\rho r_\sigma r_\lambda \right]. \quad (\text{B.14})$$

参 考 文 献

- [1] 张肇西, 何炬, 何祚庥, 中国科学, **6**(1976), 572.
- [2] 何炬, 张肇西, 何祚庥, 高能物理与核物理, **3**(1979), 297.
- [3] Ching Cheng-rui, Ho Tsu-hsiu, Chang Chao-hsi, Phys. Lett., **B98** (1981), 456.
- [4] 何炬, 张肇西, 何祚庥, 高能物理与核物理, **3**(1979), 688.
- [5] Ho Tsu-hsiu, Chang Chao-hsi, Huang Tao, Acta Phys. Sin., **25** (1976), 215.
- [6] M. M. Nagels et al., Nucl. Phys., **B147** (1979), 189.

APPROXIMATE B. S. WAVE FUNCTIONS FOR AN ELECTROMAGNETIC BOUND SYSTEM OF SPINS (1/2, 1/2) OR (1/2, 1/2) WITH UNEQUAL MASSES

SONG XIAO-TONG

(Hangzhou University)

CHING CHENG-RUI HO TSO-HSIU

(Institute of Theoretical Physics, Academia Sinica)

ABSTRACT

The Bethe-Salpeter equation for an electromagnetic bound system of spins (1/2, 1/2) or (1/2, 1/2) with unequal masses are solved in this paper. The approximate B. S. wave functions for these systems are given. Utilising these wave functions, the decay rate and branching ratio for $\Xi^0 \rightarrow (\Sigma^+ \mu^-) + \bar{\nu}_\mu$ are calculated with accuracy up to order $O(\alpha)$. The results are $w_{\Xi^0 \rightarrow (\Sigma^+ \mu^-) + \bar{\nu}_\mu} \simeq 1.12(1/\text{sec})$ and

$$R = [w_{\Xi^0 \rightarrow (\Sigma^+ \mu^-) + \bar{\nu}_\mu}] / [w_{\Xi^0 \rightarrow \Sigma^+ + \mu^- + \bar{\nu}_\mu}] \gtrsim 4.7 \times 10^{-7}.$$

Similarly, the process $\Lambda \rightarrow (p \mu^-) + \bar{\nu}_\mu$ is also discussed.